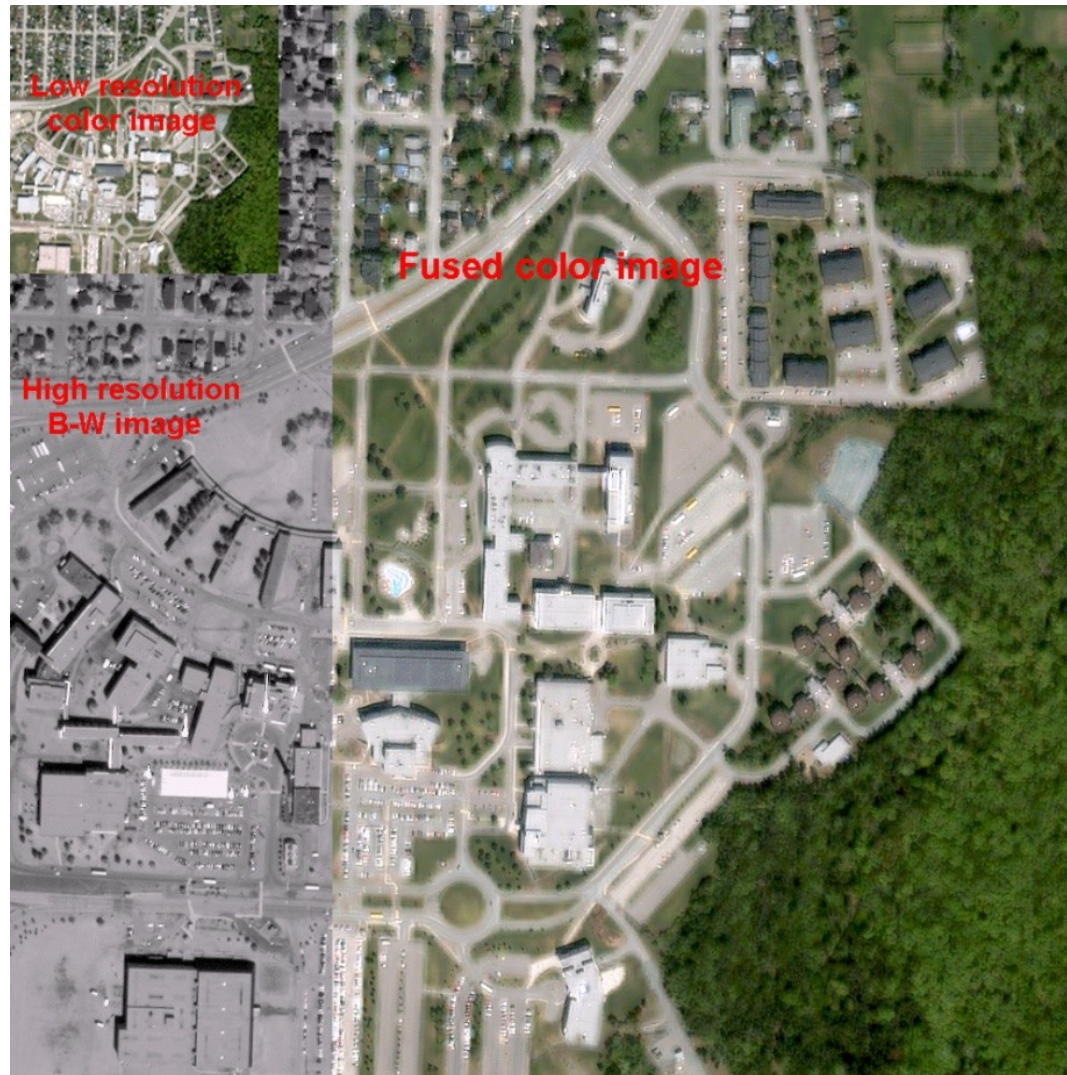


---

# Outils pour le traitement et l'analyse d'images

- Session : Recalage d'images
  - ♦ Définition du recalage
  - ♦ Méthodes pour recaler deux images
    - Utilisation de points d'intérêt
    - Critères de similarité iconique
  - ♦ Transformer une image : interpolation

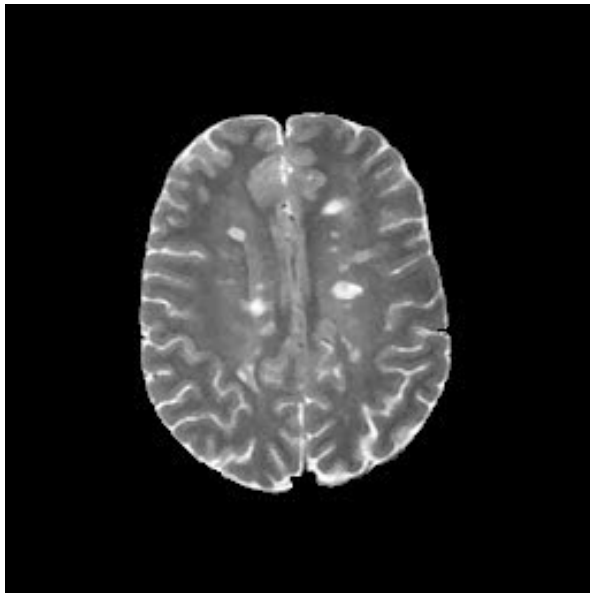
# Pourquoi recalculer ?



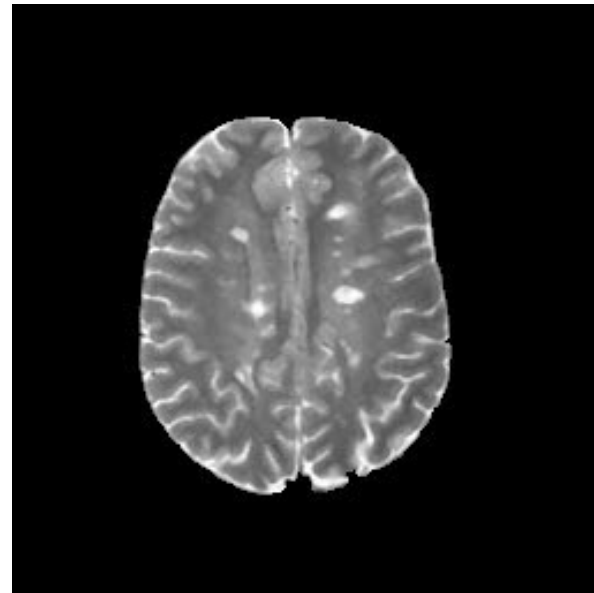
[http://www.usherbrooke.ca/bleu/offres/techno\\_info/image\\_fusion.html](http://www.usherbrooke.ca/bleu/offres/techno_info/image_fusion.html)

# Pourquoi recalage ?

Suivi de l'évolution de plaques de sclérose en plaques (SEP) en IRM (étude d'impact d'un médicament)



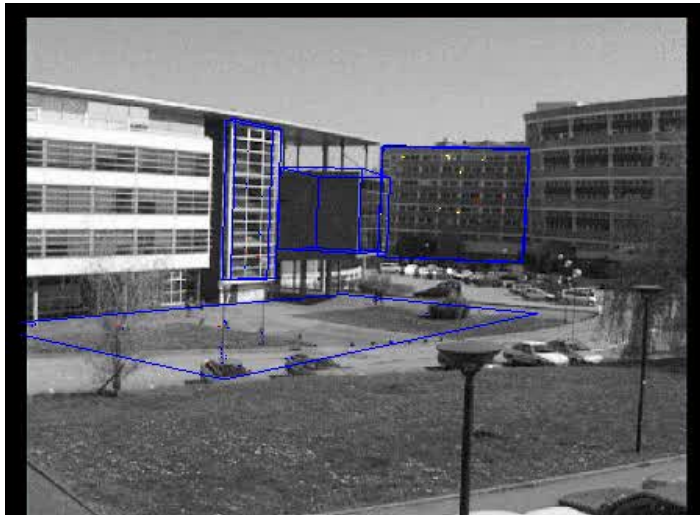
Avant recalage



Après recalage

# Rôle du recalage - Stéréovision

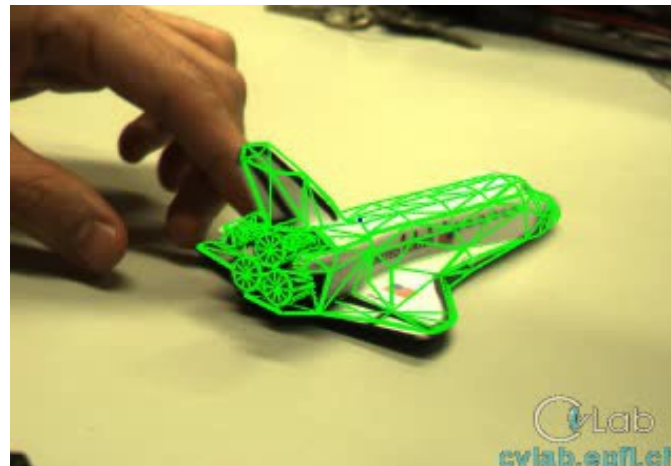
- Mettre en correspondance des bouts d'image (points, contours, patches,...)
  - ♦ Pour estimer le mouvement de la caméra
  - ♦ Pour reconstruire la scène
  - ♦ Ou les deux en même temps...



<http://magrit.loria.fr/pages/arisResults.html>

# Rôles du recalage – Vision robotique

- En plus de la stéréovision
  - ♦ Détection de mouvements/changements, contrôle qualité
  - ♦ Suivi de personnes/véhicules, estimation de trajectoires
  - ♦ Identification d'objets dans une base de données de formes
  - ♦ Identification d'une scène dans une base de données d'images ou par rapport à un modèle
  - ♦ ...



<http://cvlab.epfl.ch/research/augm/augmented.php>

# Définition formelle

- Trouver une transformation optimale entre des données images correspondantes

$$\min_T C(I_1, I_2 \circ T)$$

- $I_1, I_2$  : données images
  - ♦ Valeurs des pixels ou informations extraites (ex : points d'intérêt)
- $T$  : transformation géométriques recherchée ( $I_2 \circ T(i, j) = I_2(T(i, j))$ )
  - ♦ Choisie dans une classe de transformations acceptables
- $C$  : critère d'optimalité
  - ♦ Mesure la qualité de la correspondance (bonne superposition visuelle)
  - ♦ À minimiser ou maximiser

# Recalage à base de points



# Recalage à base de points



# Recalage à base de points

## ▪ Hypothèses

- ♦ Un nombre  $N$  de points d'intérêt sont extraits des images (cf cours suivant)
  - $\{P_1^i\}$  dans l'image  $I_1$  et  $\{P_2^i\}$  dans l'image  $I_2$
- ♦ Un appariement est disponible
  - Pour tout  $i$ ,  $P_1^i$  et  $P_2^i$  se correspondent physiquement
- ♦ On peut recaler, i.e. retrouver  $T$ , en minimisant la distance quadratique moyenne

$$d_T^2(I_1, I_2) = \frac{1}{N} \sum_{i=1}^N |P_1^i - T(P_2^i)|^2$$

- $T$  étant prise dans une classe de transformations adéquate au problème

# Types de transformations

- Transformation rigide

- ♦ Rotation ( $R$ ) + translation ( $t$ ) :  $P_1 = RP_2 + t$
- ♦ Isométrie (conserve les distances)
- ♦ Recalage rigide : à partir de  $N=3$

- Transformation affine

- ♦  $P_1 = AP_2 + t$  ( $A$  quelconque mais  $\det(A) > 0$ )
- ♦ Conserve les droites parallèles
- ♦ Recalage affine (rigide + zoom + shear/warp) : à partir de  $N=3$

- Transformation projective

- ♦  $p_1 = (s_u, s_v, s)^t = AP_2 + t = M(x, y, z, 1)^t$  ( $M$  est une matrice 3x4)
- ♦ conserve les droites
- ♦ Recalage 2D/3D : à partir de  $N=5$

- Transformations non-rigides

- ♦ Polynomiales, bases radiales, non-paramétriques (solutions d'une équation dif)...  $N$  grand !

# Cas du recalage rigide : axes principaux

▪ Minimiser l'erreur 
$$E = \sum_{i=1}^N |P_1^i - RP_2^i - T|^2$$

▪ Modélisation hiérarchique d'un solide

- ♦ Un point : centre de gravité
- ♦ Un ellipsoïde : 3 axes d'inertie avec longueurs
- ♦ ...

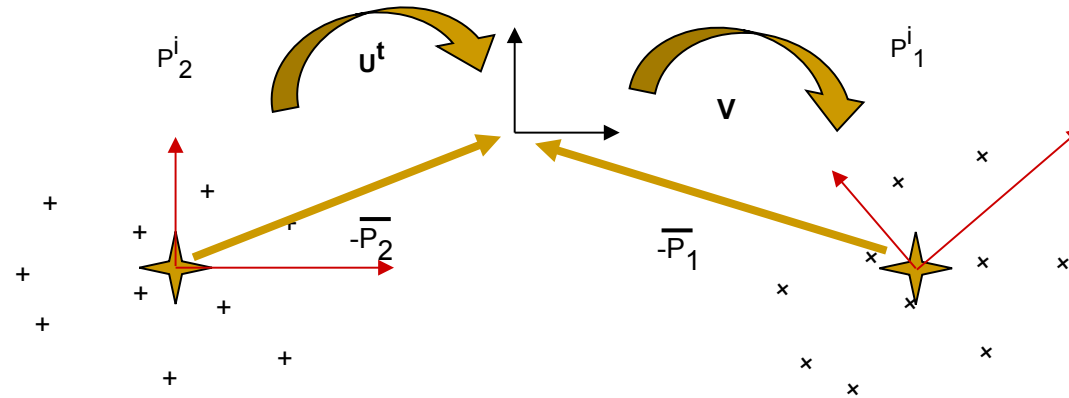
▪ Nuage de points sur un solide :  $P_i$

♦ Centre de gravité : 
$$\bar{P} = \sum_i P_i / N$$

♦ Matrice d'inertie : 
$$I_P = \sum_i P_i P_i^t = USU^t$$

- $U$ : matrice de rotation alignant les axes d'inertie sur les axes du repère (matrice de changement de repère)
- $S = \text{diag}(s_k)$  : variances le long de chaque axe

# Méthode des axes principaux



Centres de gravité :  $\bar{P}_2 = \sum_i P_2^i / N$        $\bar{P}_1 = \sum_i P_1^i / N$

Matrices d'inertie :  $I_2 = \sum_i (P_2^i - \bar{P}_2)(P_2^i - \bar{P}_2)^t = USU^t$        $I_1 = \sum_i (P_1^i - \bar{P}_1)(P_1^i - \bar{P}_1)^t = VSV^t$

$$R = VU^t \quad T = \bar{P}_1 - R\bar{P}_2$$

- La méthode des axes principaux ne considère pas l'appariement point à point
  - Calcul de la moyenne et de la variance indépendamment pour chaque ensemble de points
  - Puis synthèse du recalage

# Méthode de Procruste

- Problème de Procruste orthogonal :
  - ♦ Trouver  $R$  tel que  $|RA-B|_F$  est minimum
  - ♦  $|M|_F$ : norme de Fröbenius =  $\sqrt{\sum_{i,j} m_{i,j}^2}$
- Solution (P.Schönemann, 1964)

$$R=VU^t \quad \text{avec} \quad BA^t=M=VSU^t$$

- Supposons que  $T=0$

$$E = \sum_{i=1}^N |P_1^i - RP_2^i|^2 = |RA - B|_F^2 \quad \text{avec} \quad A = [P_2^1 \dots P_2^N] \quad \text{et} \quad B = [P_1^1 \dots P_1^N]$$

- Méthode:

- ♦ Centrer les nuages de points par rapport à leur barycentre
- ♦ Calculer  $R$  avec la méthode de Procruste
- ♦ En déduire  $T = \bar{P}_1 - R \bar{P}_2$
- ♦ Attention : même formule en apparence pour  $R$  mais les matrices  $U$  et  $V$  sont différentes

# Appariement de points

$$d_T^2(I_1, I_2) = \frac{1}{N} \sum_{i=1}^N |P_1^i - T(P_2^i)|^2$$

- Critère de base
  - ♦ On apparie avec le point le plus proche (après transformation)
  
- Prise en compte de l'apparence locale
  - ♦ Un vecteur de caractéristiques locales est associé à chaque point
    - Ex1: une imagerie entourant le point → critères iconiques
    - Ex2: vecteur de caractéristiques de SIFT (cf cours précédent)

# Critères de similarité

- Utilisés comme critère  $C$  de recalage
  - ♦ Pour une transformation  $T$  acceptable, on calcule  $C(I_1, I_2 \circ T)$
  - ♦ On essaie « toutes » les transformations acceptables et on prend celle qui donne le critère optimal → problème de l'optimisation
- Exemple du recalage rigide
  - ♦ Défini par 3 paramètres :  $\theta, t_x, t_y$
  - ♦  $C(I_1, I_2 \circ T) = f(\theta, t_x, t_y; I_1, I_2) \rightarrow$  minimisation multivariée
- Comment transformer une image ?
  - ♦ Interpolation
- Critères vus aujourd'hui
  - ♦ rms=root mean square error
  - ♦ Corrélation
  - ♦ Information mutuelle
    - Notion d'histogramme bi-dimensionnel

# Transformation d'image : cas simple (1)



- Rotation de 15 degrés
  - Problèmes:
    - ♦ On ne tombe pas sur un pixel entier
    - ♦ On n'atteint pas tous les pixels
- $$R = \begin{bmatrix} \cos(15^\circ) & -\sin(15^\circ) \\ \sin(15^\circ) & \cos(15^\circ) \end{bmatrix} \text{ et } T = (I - R) \begin{pmatrix} w/2 \\ h/2 \end{pmatrix}$$

# Transformation d'image : cas simple (2)



- Transformation inverse
- On atteint tous les pixels
  - ♦ Mais on ne tombe toujours pas sur un pixel entier : interpolation

# Interpolation sub-pixelique

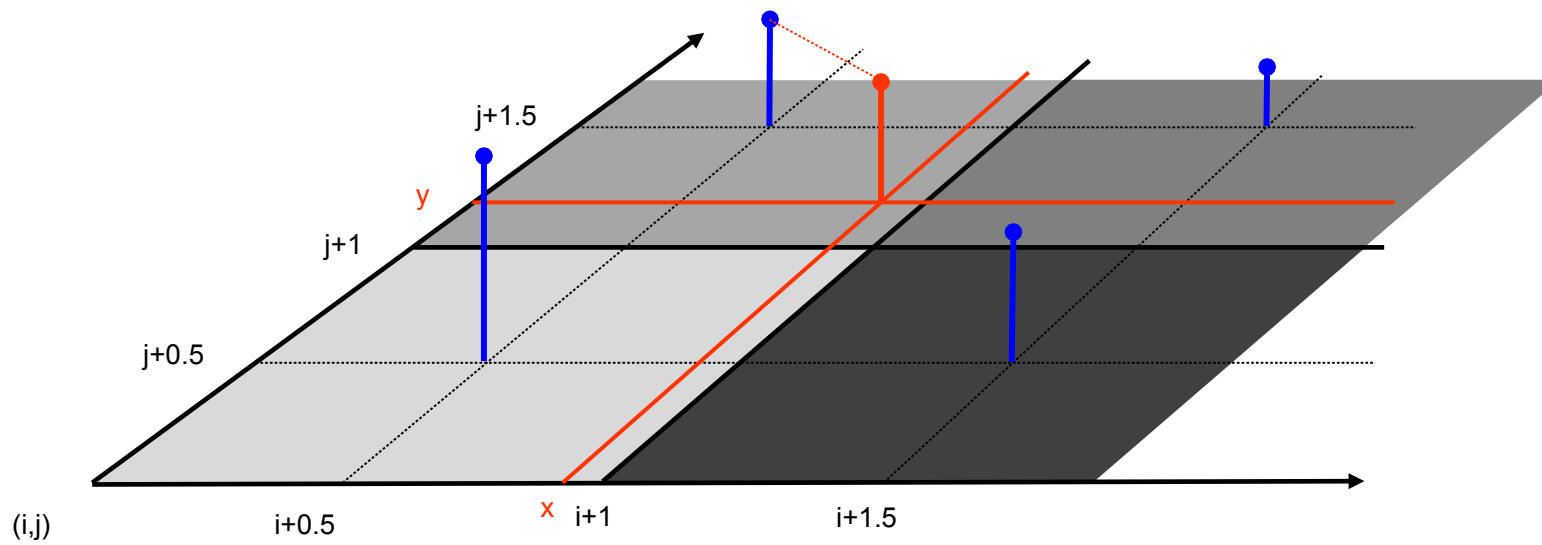
- But

- ♦ On connaît les valeurs de  $I(i,j)$  pour  $(i,j)$  entiers
- ♦ Quelle est la valeur de  $I(x,y)$  pour  $(x,y)$  réels ?

- Remarque préliminaire

- ♦ Il faut « placer » les pixels : le meilleur choix est de placer  $I(i,j)$  en  $(i+0.5, j+0.5)$

- Premier choix : plus proche voisin (*nearest neighbour*)



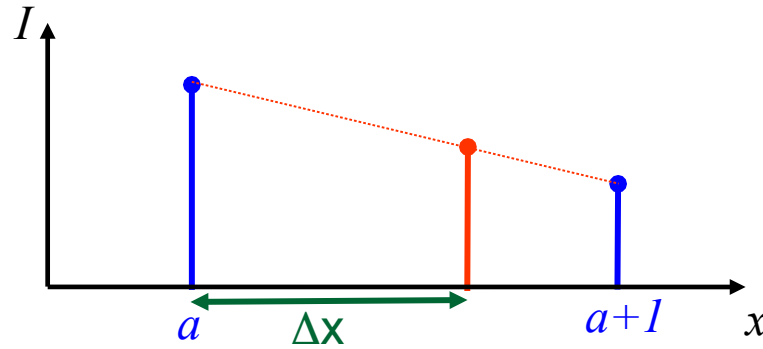
# Plus proche voisin



- Très rapide
- Crénelage (aliasing)

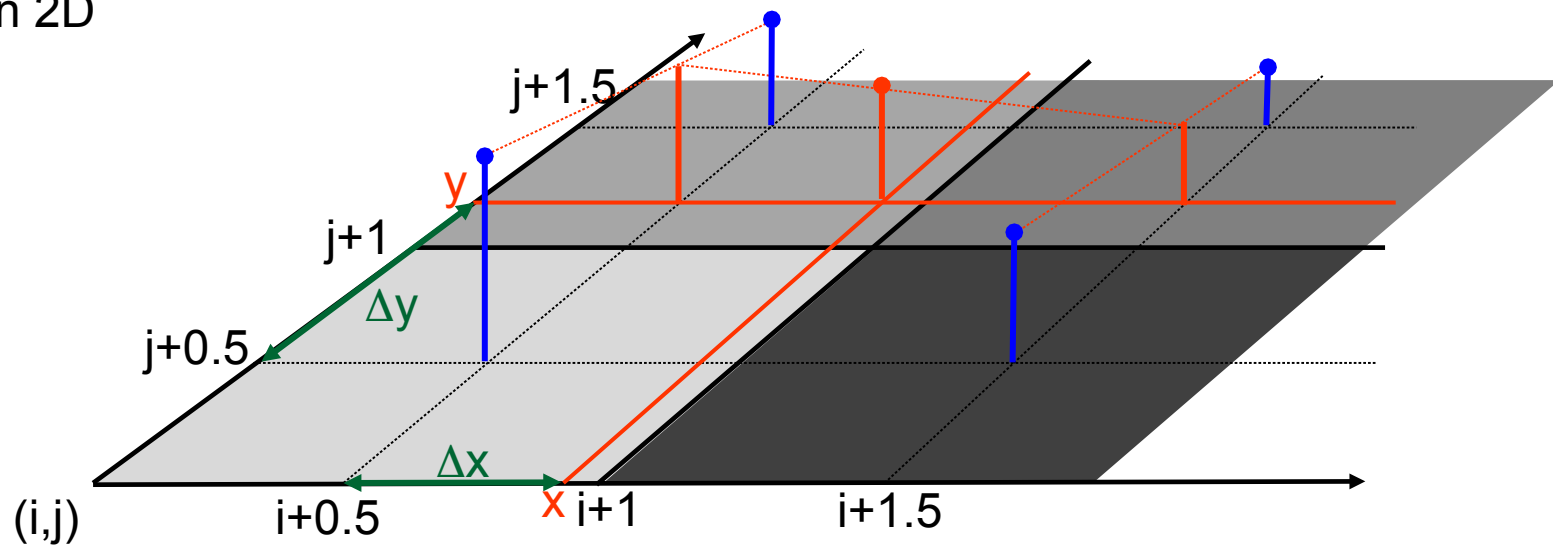
# Interpolation linéaire

RAPPEL: en 1D



$$I(x) = (1 - \Delta x)I(a) + \Delta x I(a + 1)$$

En 2D



# Interpolation linéaire



- Assez rapide
- Résultat lisse
- Un peu de flou

# RMS

$$\text{rms}(I_1, I_2) = \sqrt{\frac{\sum_{(i,j)} (I_1(i,j) - I_2(i,j))^2}{N}}$$

- Chaque image est vue comme un vecteur
- Norme du vecteur différence
- Normalisation par la taille N du vecteur
  - ♦ Problème de l'overlapping: ne considérer que les pixels ayant des valeurs viables dans les deux images



# Corrélation

- RMS ne résiste pas aux variations de luminosité/contraste
  - ♦ Avantage si c'est une contrainte réaliste car on est plus discriminant
  - ♦ Souvent inconvenient dans les images réelles
- Critère de corrélation normalisé centré

$$\gamma(I_1, I_2) = \frac{1}{N} \frac{\sum_{(i,j)} (I_1(i,j) - \bar{I}_1)(I_2(i,j) - \bar{I}_2)}{\sigma_1 \sigma_2} = \frac{1}{\sigma_1 \sigma_2} \left( \frac{\sum_{(i,j)} I_1(i,j) I_2(i,j)}{N} - \bar{I}_1 \bar{I}_2 \right)$$

- ♦ Centrage par la moyenne : résistance aux variations de luminosité
- ♦ Normalisation par l'écart-type : résistance aux variations de contraste
- ♦ Critère à optimiser
- ♦ Valeurs comprises entre -1 et 1
- ♦ Vaut 1 si relation affine entre  $I_2$  et  $I_1$ :  $I_2(i,j) = aI_1(i,j) + b$

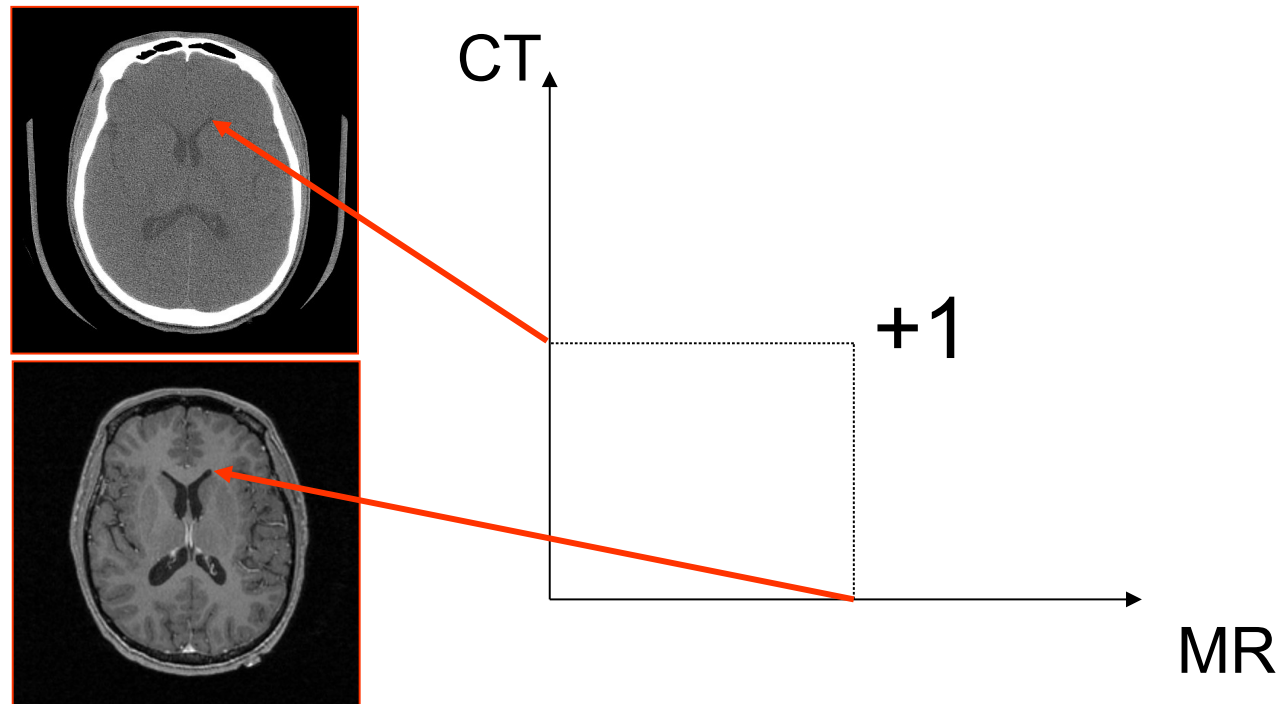
---

# Améliorations de ces critères

- Ni RMS ni corrélation ne sont robustes
  - ♦ La présence de quelques valeurs aberrantes (ex bruit) peut déplacer de beaucoup la position de l'optimum
- RMS et corrélation ne sont applicables que sous des hypothèses limitées
  - ♦ Égalité stricte pour RMS
  - ♦ Relation affine pour corrélation
- Variations rencontrées : appliquer un pré-traitement aux images pour se ramener aux conditions d'usage des critères

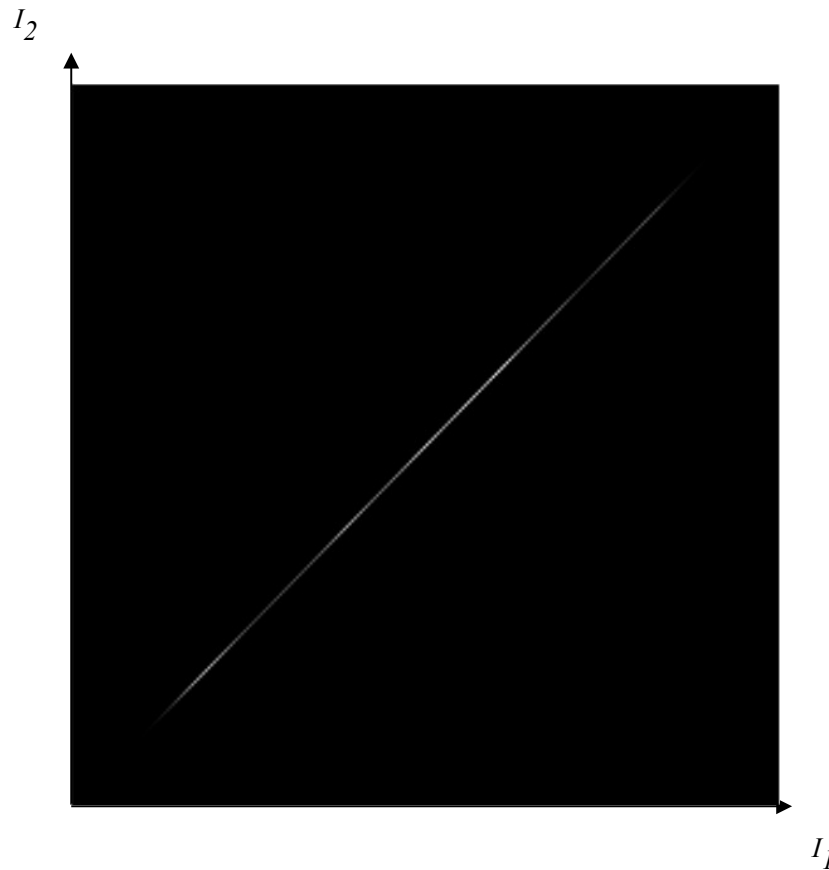
# Histogramme 2D

- Autre point de vue : plus statistique
  - ♦ La possibilité de recaler implique qu'on « voit » les mêmes objets
  - ♦ Hypothèse de relation entre les intensités des deux images
    - Corrélation=relation affine
    - On peut faire mieux : cette relation apparaît dans l'histogramme 2D



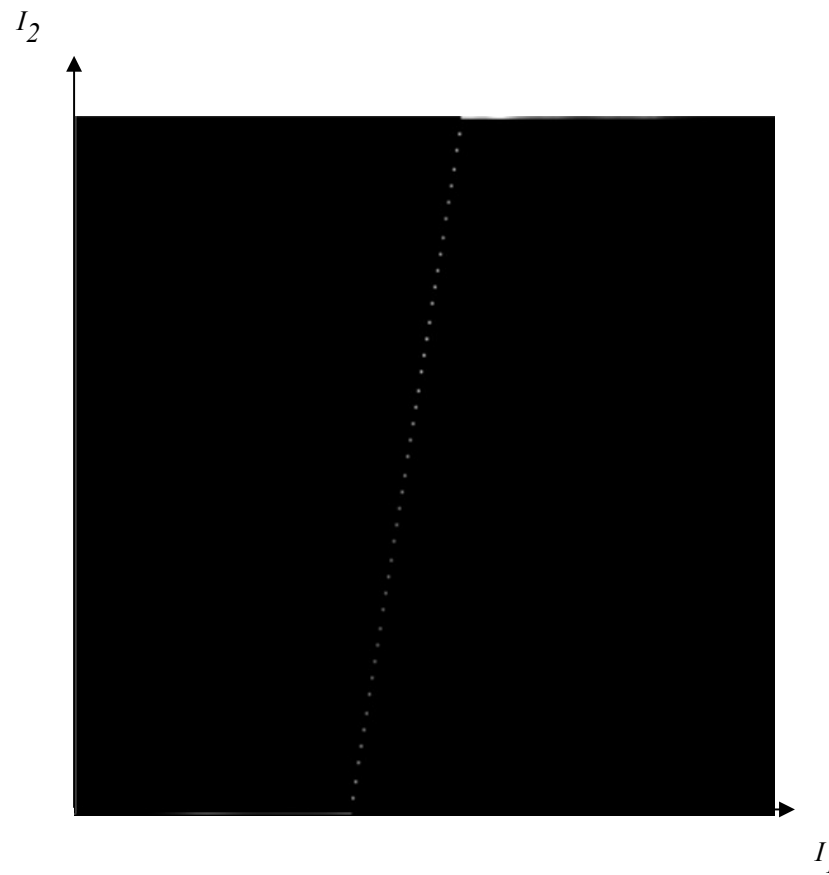
# Exemple d'histogramme 2D

- Même image (recalage parfait)



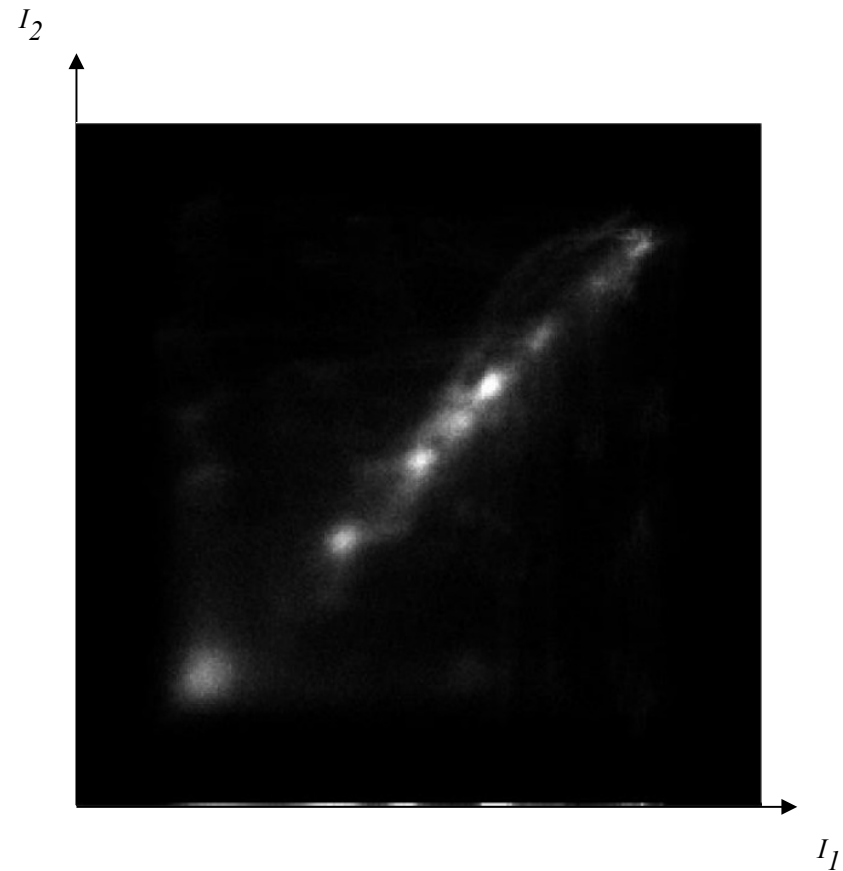
# Exemple d'histogramme 2D (2)

- Modification luminosité/contraste



# Exemple d'histogramme 2D (3)

- Transformation rigide



# Information mutuelle

- Histogramme 2D = probabilité conjointe d'occurrence d'un couple d'intensités  $p(v_1, v_2)$

- Entropie conjointe :

$$H(I_1, I_2) = - \sum_{v_1, v_2} p(v_1, v_2) \log(p(v_1, v_2))$$

- ♦ mesure du « désordre » dans l'histogramme 2D → à minimiser
- ♦ Pas robuste au problème de l'overlapping

- Information mutuelle

$$I(I_1, I_2) = \sum_{v_1, v_2} p(v_1, v_2) \log\left(\frac{p(v_1, v_2)}{p(v_1)p(v_2)}\right)$$

- ♦ Mesure la quantité d'information redondante entre les deux images : à maximiser
- ♦ Critère robuste
  - À l'overlapping
  - De manière générale aux valeurs aberrantes
- ♦ Mais favorise solutions où la quantité de « fond » égale la quantité d'« objets » (si plusieurs solutions optimales)
- ♦ Lié à l'entropie conjointe

$$I(I_1, I_2) = H(I_1) + H(I_2) - H(I_1, I_2)$$

- ♦ Utilisation la plus courante: critère normalisé

$$Y(I_1, I_2) = \frac{H(I_1) + H(I_2)}{H(I_1, I_2)}$$

# Optimisation des critères

$$T_{opt} = \underset{T}{\operatorname{argmin}} C(I_1, I_2 \circ T)$$

- Selon la classe de T, plus ou moins de paramètres
  - ♦ Au moins 3 (en 2D) pour rigide
  - ♦ Pas de formule d'inversion directe
- De nombreux optima locaux
  - ♦ Procédure d'optimisation itérative
    - Hill climbing(très (trop ?) simple)
    - Powell :
      - À base de descente de gradient
      - Pas de formulation explicite de la dérivée du critère
    - Levenberg-marquardt
      - Nécessite la dérivée du critère (cf [Maes] pour la calculer dans le cas rigide en 3D)
  - ♦ Accélération
    - Calcul des probas sur un échantillon statistiques de données (cf [Mattes])
- Ces critères iconiques sont
  - ♦ Précis, à condition qu'une bonne initialisation soit disponible (faible largeur de puits de convergence autour de l'optimum)

# Conclusion : pour aborder un problème de recalage...

- Bien choisir son image de référence
  - ♦ L'autre image sera transformée
  - ♦ Donc autant prendre l'image de résolution maximale comme référence
- Bien choisir sa classe de transformation
  - ♦ Connaissance a priori sur le phénomène à l'origine du décalage
  - ♦ Régularisation de l'optimisation
- Bien choisir son critère
  - ♦ Points : rapide, formule directe (Procuste), marche même en présence de grands décalages
  - ♦ Iconiques : précis, ne nécessite pas d'extraire des points/structures d'intérêt ni de les apparier, marche avec des images très différentes (IM)
- Deep learning
  - ♦ régression des paramètres de la transformation
  - ♦ OU image de la déformation (translation pour chaque pixel)
  - ♦ OU apprend détecteur des points